

ОДНОМЕРНОЕ УСТАНОВИВШЕЕСЯ ДВИЖЕНИЕ ПЛАЗМЫ
В КАНАЛЕ С ВНЕШНИМ ПОПЕРЕЧНЫМ МАГНИТНЫМ ПОЛЕМ
И СОПРОТИВЛЕНИЕМ

Г. Ю. Даутов

(Новосибирск)

Одномерное установившееся движение плазмы с постоянной электрической проводимостью и удельными теплоемкостями рассматривалось в ряде работ [1-4]. В данной работе приводится метод решения уравнений одномерного установившегося движения плазмы в канале с внешним магнитным полем и сопротивлением с учетом диссоциации и изменения проводимости по длине канала. Система уравнений приводится к виду, удобному для решения на электронных вычислительных машинах. Решается задача о движении частично ионизованных паров цезия и результаты решения приводятся в виде графиков.

§ 1. Уравнения, определяющие движение плазмы. Рассмотрим одномерное установившееся движение невязкой нетеплопроводной плазмы при малых магнитных числах Рейнольдса.

Поперечное сечение канала прямоугольное, две противоположные стенки являются проводниками электрического тока и служат электродами. К этим стенкам присоединено внешнее сопротивление R . Магнитное поле перпендикулярно к оси канала, и его распределение по длине канала задано. Исходными уравнениями будут

$$\begin{aligned} \rho u A &= \rho_0 u_0 A_0, & \rho u \frac{du}{dx} &= -\frac{jH}{c} - \frac{dP}{dx} \\ \rho u \frac{dE}{dx} &= -P \frac{du}{dx} - \frac{uP}{A} \frac{dA}{dx} + \frac{j^2}{\sigma} \end{aligned} \quad (1.1)$$

Здесь ρ — плотность плазмы, u — скорость движения плазмы, P — давление, A — площадь поперечного сечения канала, j — плотность тока, σ — электрическая проводимость плазмы, E — внутренняя энергия единицы массы плазмы, H — напряженность магнитного поля и c — скорость света.

Для определения плотности тока и суммарного тока I , проходящего через внешнее сопротивление, воспользуемся уравнениями цепи

$$RI = k, \quad I = \int_0^l j h dx, \quad k + \frac{js}{\sigma} = \frac{uHs}{c} \quad (1.2)$$

Здесь k — разность потенциалов между электродами; h , s , l — высота, ширина и длина канала соответственно. Первые два из уравнений (1.2) выражают законы Ома и Кирхгофа, третье уравнение означает равенство электродвижущей силы, индуцированной на ширине канала s , сумме падений напряжений внутри плазмы и на внешнем сопротивлении. Стенки канала, служащие электродами, предполагаются идеальными проводниками, и поэтому величина k постоянна вдоль канала. Внешнее сопротивление мысленно разбивается [4] на параллельно соединенные сопротивления $r(x)$. При этом

$$r(x) h j = k \quad \left(0 \leq k \leq \frac{uHs}{c} \right) \quad (1.3)$$

Общее сопротивление определяется из уравнения

$$\frac{1}{R} = \int_0^l \frac{dx}{r(x)} \quad (1.4)$$

Путем соответствующего подбора величины внешнего сопротивления можно добиться определенной разности потенциалов на электродах. Поэтому систему уравнений движения можно решить для заданного значения k и по результатам решения из уравнений (1.2) и (1.3) определить величины I , j , r и R . Выразим плотность тока через k

$$j = \frac{\sigma(uHs - ck)}{cs} \quad (1.5)$$

Для определения зависимости внутренней энергии от температуры и давления при наличии диссоциации и ионизации необходимо знать состав смеси. Закон сохранения количества атомов и заряженных частиц при диссоциации и ионизации совместно с условиями равновесия химических реакций и процессов ионизации дает систему алгебраических уравнений [5]. Число уравнений в этой системе n равняется числу составляющих смесь продуктов. Из совместного решения такой системы уравнений и уравнения состояния смеси определяются число молей каждого вида продукта реакции в 1 см^3 смеси β_i ($i = 1, \dots, n$) и газовая постоянная смеси R_1 . Зная химический состав смеси и энергии диссоциации и ионизации продуктов, легко определить внутреннюю энергию смеси.

В уравнения (1.1) входит производная внутренней энергии, поэтому нужно найти выражение для этой производной. Если из системы n уравнений не удастся получить явного выражения для всех β_i через T и P , можно выразить числа молей y продуктов через числа молей остальных $(n - y)$ продуктов. Тогда производную внутренней энергии можно записать в виде

$$\frac{dE}{dx} = \frac{d}{dx} (L + F) \quad (1.6)$$

Здесь L и F — функции β_i ($i = n - y + 1, n - y + 2, \dots, n$), T и P . Функция F определяет часть внутренней энергии единицы массы, обусловленную диссоциацией и ионизацией. Величины β_i ($i = n - y + 1, n - y + 2, \dots, n$) будут функциями T и P , и их производные вычисляются по формуле

$$\frac{d\beta_i}{dx} = \frac{\partial\beta_i}{\partial P} \frac{dP}{dx} + \frac{\partial\beta_i}{\partial T} \frac{dT}{dx} \quad (i = n - y + 1, n - y + 2, \dots, n) \quad (1.7)$$

Подставляя эти выражения в (1.6), получим

$$\frac{dE}{dx} = f_1 \frac{dP}{dx} + f_2 \frac{dT}{dx} \quad (1.8)$$

Здесь f_1 и f_2 — функции β_i , $\partial\beta_i/\partial T$ ($i = n - y + 1, \dots, n$), T и P . Уравнение состояния смеси дает еще одну связь величин ρ , T и P

$$P = R_1 \rho T \quad (1.9)$$

Проводимость изотропной плазмы в зависимости от степени ионизации определяется формулами Чепмена — Каулинга, Спидера или их комбинацией [6]. Все эти формулы представляют зависимость проводимости от температуры и давления

$$\sigma = \sigma(T, P) \quad (1.10)$$

Уравнения (1.1), (1.9), (1.10), закон сохранения количества атомов и заряженных частиц, условия равновесия химических реакций и процессов ионизации при заданной величине k полностью определяют движение плазмы.

§ 2. Приведение уравнений к виду, удобному для решения на машинах. Из уравнений (1.1), (1.5) и (1.9) находим

$$\begin{aligned} \frac{(\rho_0 u_0 A_0)^2}{A} \frac{d}{dx} \frac{R_1 T}{AP} + \frac{dP}{dx} + \left(\frac{A_0 \rho_0 u_0 R_1 T H s}{AP} - ck \right) \frac{\sigma H}{c} &= 0 \\ \frac{\rho_0 u_0 A_0}{A} \frac{dE}{dx} + P \rho_0 u_0 A_0 \frac{d}{dx} \frac{R_1 T}{AP} + \frac{\rho_0 u_0 A_0 R_1 T}{A^2} \frac{dA}{dx} &= \left(\frac{\rho_0 u_0 A_0 R_1 T H s}{AP} - ck \right)^2 \frac{\sigma}{c^2 s^2} \end{aligned} \quad (2.1)$$

Подставляя в уравнения (2.1) выражения для σ , dE/dx , R_1 и решая относительно производных давления и температуры, приходим к системе уравнений

$$\frac{dP}{dx} = f(x, T, P, k), \quad \frac{dT}{dx} = \varphi(x, T, P, k) \quad (2.2)$$

Здесь k является параметром. Начальными условиями интегрирования этой системы служат P и T при $x=0$. Воспользуемся для вычисления приращений ΔP_s и ΔT_s при изменении x_s на Δx формулами Рунге — Кутта

$$\Delta P_s = \frac{1}{6} (z_1 + 2z_2 + 2z_3 + z_4), \quad \Delta T_s = \frac{1}{6} (k_1 + 2k_2 + 2k_3 + k_4) \quad (2.3)$$

где

$$\begin{aligned} z_1 &= \Delta x f(x_s, T_s, P_s, k), & z_2 &= \Delta x f\left(x_s + \frac{1}{2} \Delta x, T_s + \frac{1}{2} k_1, P_s + \frac{1}{2} z_1, k\right) \\ k_1 &= \Delta x \varphi(x_s, T_s, P_s, k), & k_2 &= \Delta x \varphi\left(x_s + \frac{1}{2} \Delta x, T_s + \frac{1}{2} k_1, P_s + \frac{1}{2} z_1, k\right) \\ z_3 &= \Delta x f\left(x_s + \frac{1}{2} \Delta x, T_s + \frac{1}{2} k_2, P_s + \frac{1}{2} z_2, k\right) \\ z_4 &= \Delta x f(x_s + \Delta x, T_s + k_3, P_s + z_3, k) \\ k_3 &= \Delta x \varphi\left(x_s + \frac{1}{2} \Delta x, T_s + \frac{1}{2} k_2, P_s + \frac{1}{2} z_2, k\right) \\ k_4 &= \Delta x \varphi(x_s + \Delta x, T_s + k_3, P_s + z_3, k) \end{aligned} \quad (2.4)$$

При этом возникает возможность пользования стандартными программами интегрирования системы дифференциальных уравнений. Значения P и T в точке $x_s + \Delta x$ определяются формулами

$$P_{s+1} = P_s + \Delta P_s, \quad T_{s+1} = T_s + \Delta T_s \quad (2.5)$$

По полученным значениям T_{s+1} и P_{s+1} определяются β_i , $\partial \beta_i / \partial P$, $\partial \beta_i / \partial T$, σ , R_1 , j . Зная эти величины, можно вычислить правые части уравнений (2.2). По известным правым частям при помощи формул (2.3) и (2.4) вычисляются значения P и T в точке $x_{s+1} + \Delta x$ и т. д. Таким образом, при достаточно малом шаге интегрирования можно довольно точно определить изменение параметров плазмы по длине канала и силу тока I .

§ 3. Движение частично ионизованных паров цезия в канале постоянного сечения. Приведем пример решения уравнений одномерного движения плазмы, состоящей из нейтральных атомов Cs, ионов Cs⁺ и электронов. В этом случае закон сохранения количества атомов и заряженных частиц и условие равновесия процесса ионизации выражаются формулой Саха для однократной ионизации ($T_{\max} = 3000^\circ \text{K}$)

$$\frac{P}{9.81 \cdot 10^5} \frac{\alpha^2}{1 - \alpha^2} = 10^{-(5041 v_i + 6.491) T^{5/2}} \quad \left(v_i = \frac{V_i}{T} \right) \quad (3.1)$$

Здесь α — степень ионизации, V_i — потенциал однократной ионизации в электронвольтах.

Учитывая малость массы электронов по сравнению с массой ионов, уравнение состояния можно записать в виде

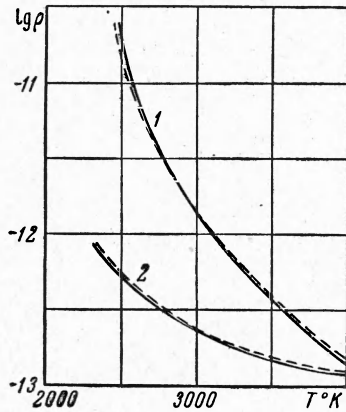
$$P = R\rho T (1 + \alpha) \quad (3.2)$$

где R — газовая постоянная для нейтральных паров цезия.

Внутреннюю энергию плазмы определим как сумму энергий хаотического движения атомов, ионов и электронов и энергии, затраченной на ионизацию

$$E = 1.5RT (1 + \alpha) + 1.6 \cdot 10^{-12} \frac{V_i W \alpha}{m} \quad (3.3)$$

Здесь W — число Авогадро и m — атомный вес.



Фиг. 1. Зависимость логарифма удельного сопротивления плазмы $\rho = \sigma^{-1}$ [сек] от температуры: кривые 1 — для давления $9.81 \cdot 10^5$ дина/см, 2 — для давления $9.81 \cdot 10^2$ дина/см²; пунктирные линии определены по формуле (3.4), сплошные линии определены по усредненным значениям подвижности электронов

Учитывая изменение степени ионизации по длине канала, удельное сопротивление плазмы определим как сумму удельных сопротивлений электронно-ионного столкновения и столкновения электронов с нейтральными атомами [6]

$$\frac{1}{\sigma} = 1.88 \frac{(m_e kT)^{1/2} Q_n}{\alpha e^2} + 1.69 \frac{m_e^{1/2} e^2}{(kT)^{3/2}} \ln \frac{2}{2\sqrt{2}e^2} \left(\frac{k^3 T^3}{\pi n_e} \right)^{1/2} \quad (3.4)$$

Здесь m_e — масса электрона, e — заряд электрона, k — постоянная Больцмана, n_e — число электронов в 1 см³ и Q_n — площадь поперечного сечения столкновения атомов с электронами. Умножая первый член на коэффициент, учитывающий изменение Q_n в зависимости от температуры и давления, можно получить достаточно точную формулу для вычисления σ . В диапазоне температур 2500 — 4000° К и давлений 0.001 — 10 ат таким чисто эмпирическим коэффициентом для паров цезия может служить выражение

$$\varphi = 3100^2 \left[T + \frac{2.943 \cdot 10^7}{P} \left(\frac{T}{3100} - 1 \right) \right]^{-2}$$

На фиг. 1 показаны графики удельных сопротивлений, определенных по формуле (3.4) с учетом коэффициента φ и вычисленных по усредненным значениям подвижности электронов.

В этом случае система уравнений (2.2) имеет вид

$$\frac{dT}{dX} = \frac{(\rho_0 u_0 L - 1) B + (\rho_0 u_0 M - PL) F}{(\rho_0 u_0)^2 (DM + NL) - \rho_0 u_0 N - PD} \quad (3.5)$$

$$\frac{dP}{dX} = l \frac{\rho_0 u_0 DB - F(\rho_0 u_0 N + PD)}{(\rho_0 u_0)^2 (DM + NL) - \rho_0 u_0 N - PD} \quad (3.6)$$

где

$$N = (1.5RT + \Phi) G + 1.5R(1 + \alpha), \quad M = -(1.5RT + \Phi) \psi$$

$$D = \frac{\rho_0 u_0 R}{P} (1 + \alpha + TG), \quad L = \frac{\rho_0 u_0 R}{P} \left(\frac{1 + \alpha}{P} + \psi \right)$$

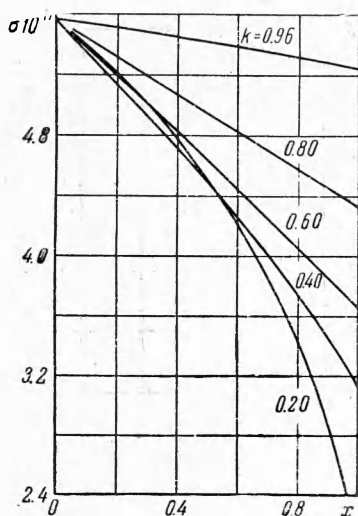
$$G = \frac{\rho_0 u_0 R}{P} \frac{2.5T + 11600V_i}{T^2}, \quad \psi = \frac{\alpha}{2(P + A)}, \quad \Phi = \frac{9.64 \cdot 10^{14} V_i}{m}$$

$$B = \frac{j^2}{\epsilon}, \quad F = -\frac{jH}{c}, \quad X = \frac{x}{e}$$

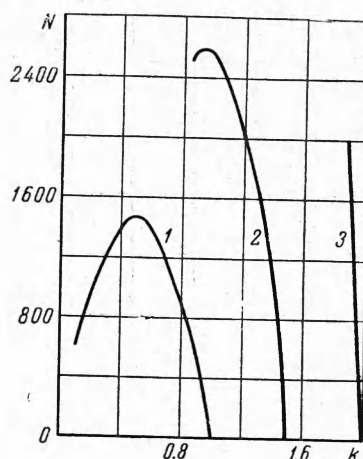
Решение уравнений (3.5) и (3.6) выполнялось на машине с шагом интегрирования $\Delta X = 0.002$ для начальных условий $P = 1.962 \cdot 10^6$ дина / см² и $T = 3000^\circ \text{K}$ при $X = 0$ и трех значений скорости входа плазмы в канал $2 \cdot 10^4$, $3 \cdot 10^4$ и $4 \cdot 10^4$ см/сек. Высота, ширина и длина канала принимались равными 100 см, а напряженность магнитного поля — 15000 эрстед.

§ 4. Обсуждение результатов решения. Обычно для упрощения уравнений электрическую проводимость плазмы предполагают постоянной. Такое предположение справедливо в том случае, если температура меняется незначительно и плазма представляет собой смесь газа с высоким потенциалом ионизации и очень незначительного количества газа с низким потенциалом ионизации. При этом концентрация газа с низким потенциалом ионизации должна быть настолько малой, чтобы можно было считать его атомы полностью ионизованными. В смеси, состоящей из 99.9% аргона и 0.1% калия, степень ионизации паров калия с температурой меняется следующим образом ($P = 9.81 \cdot 10^5$ дина / см²):

$$\begin{aligned} T = 2000^\circ \text{K}, & \quad \alpha = 8.3 \cdot 10^{-4} \\ T = 3000^\circ \text{K}, & \quad \alpha = 8.77 \cdot 10^{-2} \\ T = 4000^\circ \text{K}, & \quad \alpha = 0.641 \end{aligned}$$



Фиг. 2



Фиг. 3

Фиг. 2. Изменение проводимости σ [сек⁻¹] по длине канала при различных разностях потенциалов на электродах k [$e^{1/2}$ см^{1/2} сек⁻¹]

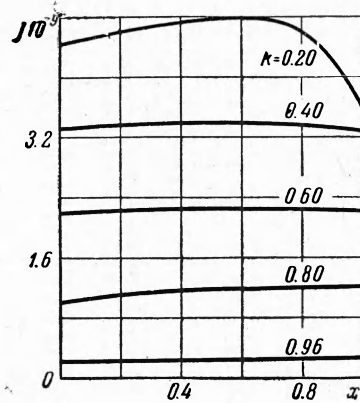
Фиг. 3. Зависимость генерируемой мощности N [кет] от разности потенциалов на электродах k [$e^{1/2}$ см^{1/2} сек⁻¹] для скоростей входа плазмы в канал $2 \cdot 10^4$ см / сек (кривая 1), $3 \cdot 10^4$ см / сек (кривая 2) и $4 \cdot 10^4$ см / сек (кривая 3)

Чтобы в таком диапазоне температур предположение о полной ионизации калия соблюдалось, его концентрация должна быть значительно меньше 0.1%. Но в этом случае и проводимость смеси будет очень низкой. Поэтому в практически важных случаях необходимо учитывать изменение α и σ . Фиг. 2 показывает, что при оптимальной величине разницы потенциалов на электродах ($k = 0.50$) σ по длине канала меняется значительно. Предположение постоянства σ , конечно, при принятых условиях не может дать точной картины течения.

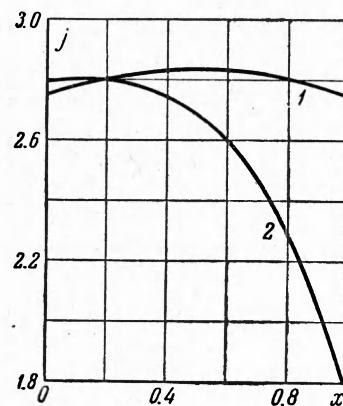
Для выбранных условий существует оптимальная величина разности потенциалов на электродах, при которой генерируется максимальная мощность. Так, например, в рассмотренном случае максимальные мощности (фиг. 3) извлекаются при $k = 0.50$ и $k = 0.97$.

Плотность тока и ее изменение по длине канала сильно зависят от разницы потенциалов между электродами (фиг. 4). При дозвуковом течении через магнитное поле газ совершает механическую работу против силы jH/c и к нему подводится тепло j^2/σ . В результате этого газ ускоряется. При постоянной электрической проводимости газа плотность тока и извлекаемая с единицы длины генератора мощность по длине канала возрастали бы монотонно. В работе [1] сделан такой вывод об увеличении извлекаемой с единицы длины генератора мощности по длине канала. Как показывают графики, при увеличении силы тока I температура и проводимость газа настолько изменяются, что даже, несмотря на повышение скорости на конце канала, плотность тока уменьшается. В результате этого извлекаемая с единицы длины генератора мощность N_x при оптимальном режиме имеет максимум не на конечном участке генератора, а где-то в средней части. Положение этого максимума зависит от начальных условий, в частности от u_0 . При увеличении u_0 точка $N_{x\max}$ перемещается в сторону входной части канала.

На фиг. 5 показаны графики изменения плотности тока (N_x пропорциональна j) при оптимальном режиме для двух значений u_0 .



Фиг. 4



Фиг. 5

Фиг. 4. Изменение плотности тока j [$e^{1/2} \text{ см}^{-1/2} \text{ сек}^{-2}$] по длине канала при различных разностях потенциалов на электродах k [$e^{1/2} \text{ см}^{1/2} \text{ сек}^{-1}$]

Фиг. 5. Изменение плотности тока j [$e^{1/2} \text{ см}^{-1/2} \text{ сек}^{-2}$] по длине канала на оптимальном режиме для скоростей входа плазмы в канал $2 \cdot 10^4 \text{ см/сек}$ (кривая 1) и $3 \cdot 10^4 \text{ см/сек}$ (кривая 2)

Для заданных начальных условий существует такая величина разности потенциалов между электродами k_* , при которой наступает кризис течения. Если $k < k_*$, реализация течения с заданными начальными условиями невозможна. Такое явление запираания канала связано с тем, что дозвуковое течение в канале постоянного сечения, совершая механическую работу и получая тепло, не может переходить в сверхзвуковое течение. Величина k_* определяется из условия

$$M_{x=1} = \left[\left(\gamma \frac{P}{\rho} \right)^{-1/2} u \right]_{x=1} = 1 \quad (4.1)$$

где γ — отношение удельных теплоемкостей газа.

На фиг. 6 приведены графики зависимости $k = k(M_{x=1})$ для значений начальных скоростей $2 \cdot 10^4$, $3 \cdot 10^4$ и $4 \cdot 10^4 \text{ см/сек}$. Пересечение графиков с прямой $M_{x=1} = 1$ дает величину k_* . Величины k для дан-

ных размеров генератора и $T_{X=0}$ при дозвуковом течении находятся в области, ограниченной прямыми $M_{X=1} = 1$, $k = 0$

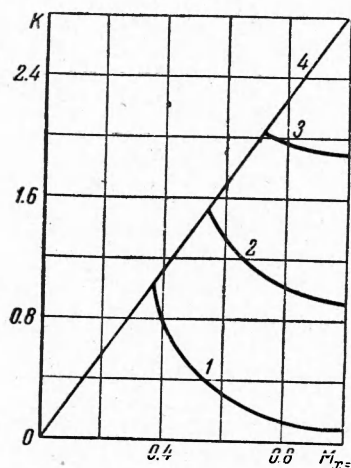
$$k = \frac{sH}{c} \sqrt{\gamma R (1 + \alpha) T_{X=0} M_{X=1}}$$

Чем больше скорость у входа в канал, тем больше величина k_* , а при малых скоростях входа явление кризиса может и отсутствовать.

Как видно из фиг. 3, при $u_0 = 2 \cdot 10^4$ и $3 \cdot 10^4$ см/сек $k_* < k_0$, где k_0 — разность потенциалов между электродами на режиме генерации максимальной мощности, и можно осуществить оптимальный режим генерации, а при $u_0 = 4 \cdot 10^4$ см/сек кризис течения наступает до достижения оптимального режима и вырабатываемая мощность меньше, чем в случае $u_0 = 3 \cdot 10^4$ см/сек.

Фиг. 6. Зависимость разности потенциалов на электродах k [$e^{1/2} \text{см}^{1/2} \text{сек}^{-1}$] от числа M на конце канала для скоростей входа плазмы в канал $2 \cdot 10^4$ см/сек (кривая 1), $3 \cdot 10^4$ см/сек (кривая 2) и $4 \cdot 10^4$ см/сек (кривая 3). Прямая 4 определена уравнением

$$k = \frac{sH}{c} \sqrt{\gamma R (1 + \alpha) T_{X=0} M_{X=1}}$$



Отсюда можно сделать вывод, что при скоростях входа, близких к скорости звука, канал генератора должен быть расширяющимся и такая конфигурация канала должна способствовать устранению кризиса течения.

Отметим, что в канале постоянного сечения значительная часть внутренней энергии расходуется на ускорение плазмы. В результате этого температура и проводимость по длине канала быстро уменьшаются. Поэтому канал постоянного сечения не является выгодной конфигурацией для магнетогидродинамического генератора.

В заключение приношу благодарность за ценные замечания и советы М. Ф. Жукову.

Поступила 25 XII 1961

ЛИТЕРАТУРА

1. Голицын Г. С., Станюкович К. П. Некоторые вопросы магнетогидродинамики с учетом конечной проводимости. ЖЭТФ, 1957, т. XXXIII, вып. 6.
2. Чекареев И. Б. Одномерное течение сжимаемого газа с конечной проводимостью при наличии поперечного магнитного поля. ПММ, 1960, т. XXIV, вып. 2.
3. Лурье К. А. Решение уравнений одномерного движения сжимаемого газа конечной проводимости в поперечных электрическом и магнитном полях (стационарный случай). ЖТФ, 1961, т. XXXI, вып. 5.
4. Neuringer J. L. Optimum power generation from a moving plasma. Fluid Mechanics, 1960, vol. 7, p. 2.
5. Чинитц, Эйзен, Гросс. Аэродинамические и электрические свойства некоторых газовых смесей вплоть до чисел $M = 20$. Вопр. ракетной техн., М., ИИЛ, 1960, № 2.
6. A. Sherman. Calculation of Electrical Conductivity of Ionized Gases. ARS Journal, 1960, vol. 30, N 6.